

図-1 スランプフローの経時変化

3. 実験結果と考察

図-1 および図-2 にそれぞれスランプフローおよび S モルタルフローの経時変化を示した。図-3 に貫入抵抗試験での始発と終結時間と練上がり温度の関係、図-4 および図-5 にそれぞれ 0、90 分後のスランプフローおよび S モルタルフローの相関関係を示した。

図-1 および図-2 より、スランプフローと S モルタルフローともに練上がり温度が高くなるにつれてフロー値は大きくなる。またスランプフローがあまり低下しないのに比べて、S モルタルフローは低下率が大きく、練上がり温度が 20°C の時に最も大きくみられた。また図-3 より、貫入抵抗試験での始発、終結時間はともに練上がり温度が高くなるにつれて速くなる事から、練上がり温度が高くなると凝結硬化速度が速くなると考えられる。図-4 および図-5 より、スランプフローと S モルタルフローの相関関係は 0 分後のときは 20°C と 25°C は近似したが、5°C の場合は傾き、切片ともに少しずれていた。また 90 分後でも同様の傾向が認められた。

4. まとめ

- 1) スランプフローと S モルタルフローはともに練上がり温度が高くなるにつれ、フロー値は大きくなった。また低下率は S モルタルフローの方が大きかった。
- 2) 練上がり温度が高くなるにつれ、凝結硬化速度は速くなつた。
- 3) スランプフローとモルタルフローの相関関係は、練上がり温度別に見るとそれぞれ両者の相関性は高かつた。また 20°C と 25°C の場合は値が近似していたが、5°C の場合は他と比べてずれていた。これは、0 分から 90 分まで同様な結果が得られた。

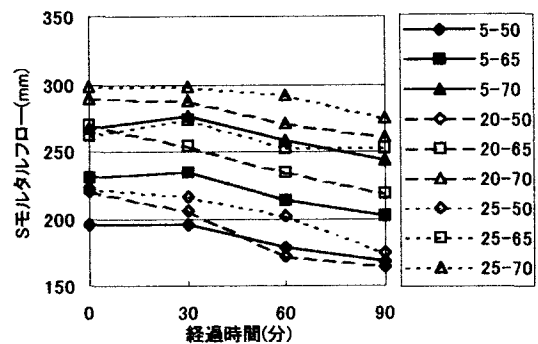


図-2 S モルタルフローの経時変化

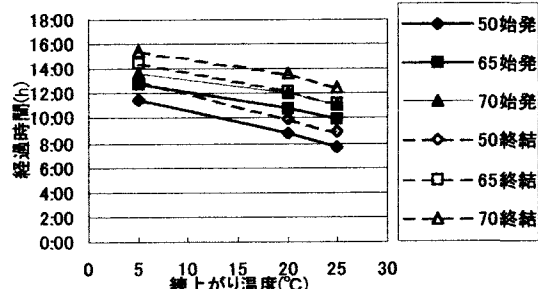


図-3 始発・終結時間と練上がり温度の関係

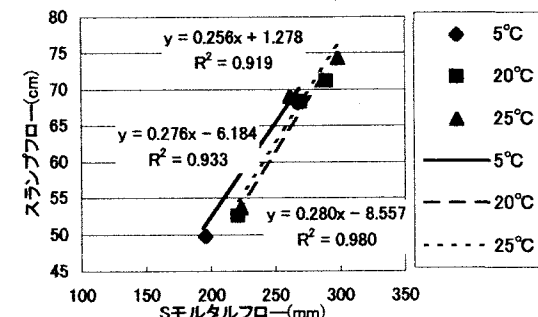


図-4 スランプフローと S モルタルフローの相関関係 (0 分後)

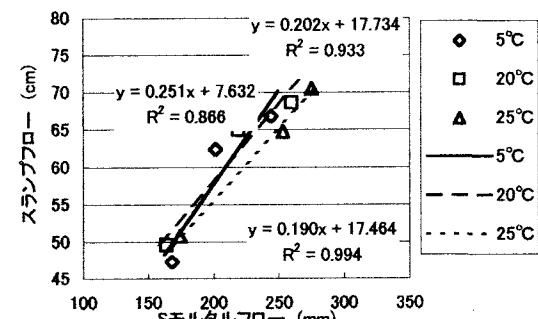


図-5 スランプフローと S モルタルフローの相関関係 (90 分後)